

# Quadruped Robotics

第6回MPC勉強会 鶴原康太

# 本資料の構成

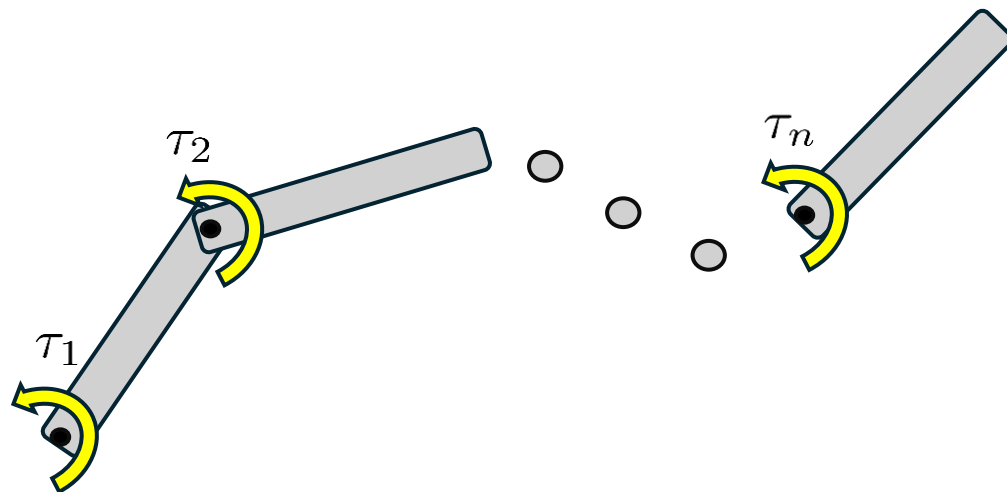
- ロボットの制御基礎
- 四脚ロボットの制御基礎
- 論文



# ロボットの制御基礎

# ロボットの制御基礎

ロボットの運動方程式



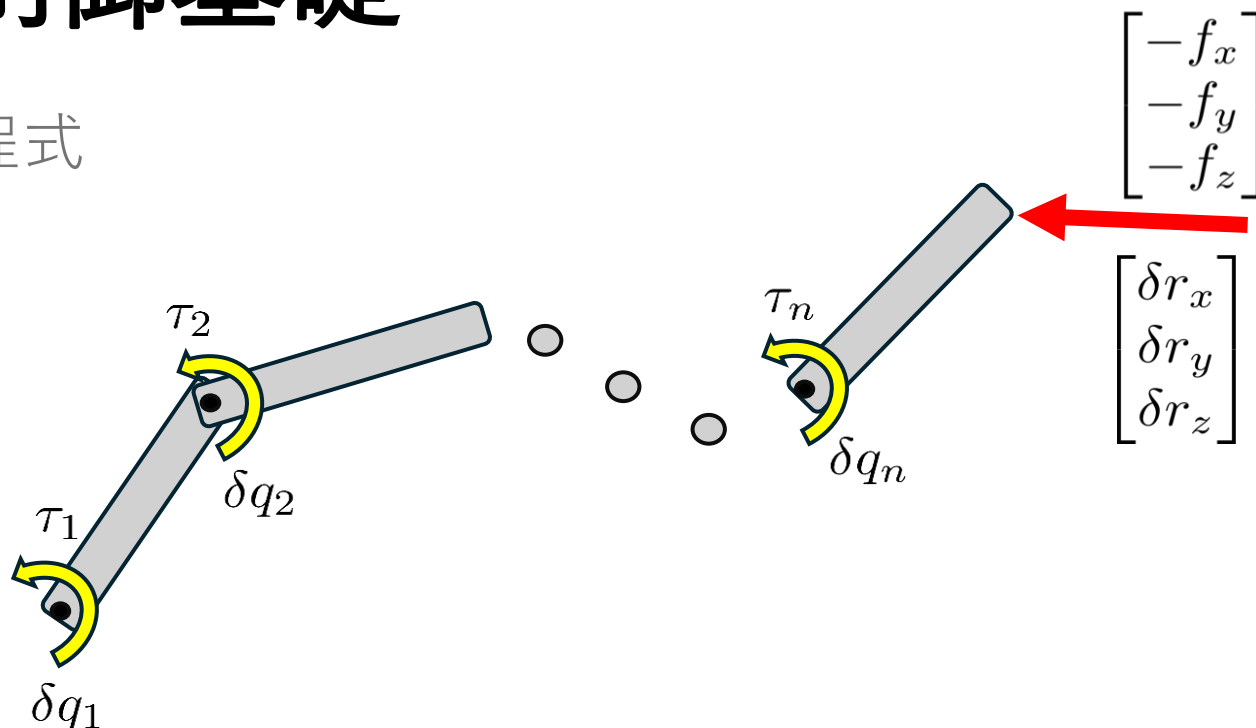
ロボットをトルク制御で動かしたい場合、**運動方程式**を導く必要がある

$$\tau = M(q)\ddot{q} + h(q, \dot{q}) + g(q)$$

※関節数が多い場合はNewton-Euler法を用いて漸化的に解く

# ロボットの制御基礎

ロボットの運動方程式

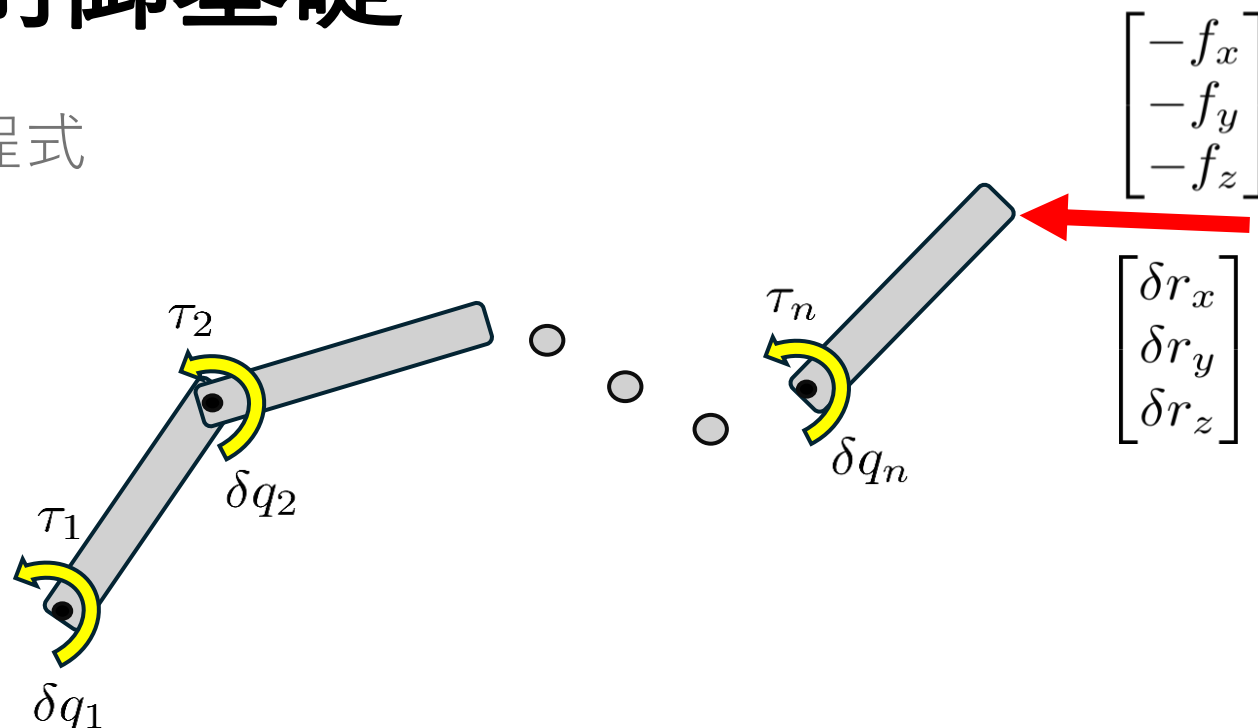


**仮想仕事の原理**：つり合い時なら仮想的な微小変位に対する仕事はゼロ

$$\delta W = [\delta q_1 \quad \delta q_2 \quad \cdots \quad \delta q_n] \begin{bmatrix} \tau_1 \\ \tau_2 \\ \vdots \\ \tau_n \end{bmatrix} + [\delta r_x \quad \delta r_y \quad \delta r_z] \begin{bmatrix} -f_x \\ -f_y \\ -f_z \end{bmatrix} = 0$$
$$\delta W = \delta \mathbf{q}^T \boldsymbol{\tau} - \delta \mathbf{r}^T \mathbf{f} = 0$$

# ロボットの制御基礎

ロボットの運動方程式



$$\delta W = \delta \mathbf{q}^T \boldsymbol{\tau} - \delta \mathbf{r}^T \mathbf{f} = 0$$

ここで微分運動学の関係式  $\delta \mathbf{r} = \mathbf{J} \delta \mathbf{q}$  を用いる

$$\delta \mathbf{q}^T \boldsymbol{\tau} - \delta \mathbf{q}^T \mathbf{J}^T \mathbf{f} = 0$$

$$\boldsymbol{\tau} = \mathbf{J}^T \mathbf{f}$$

# ロボットの制御

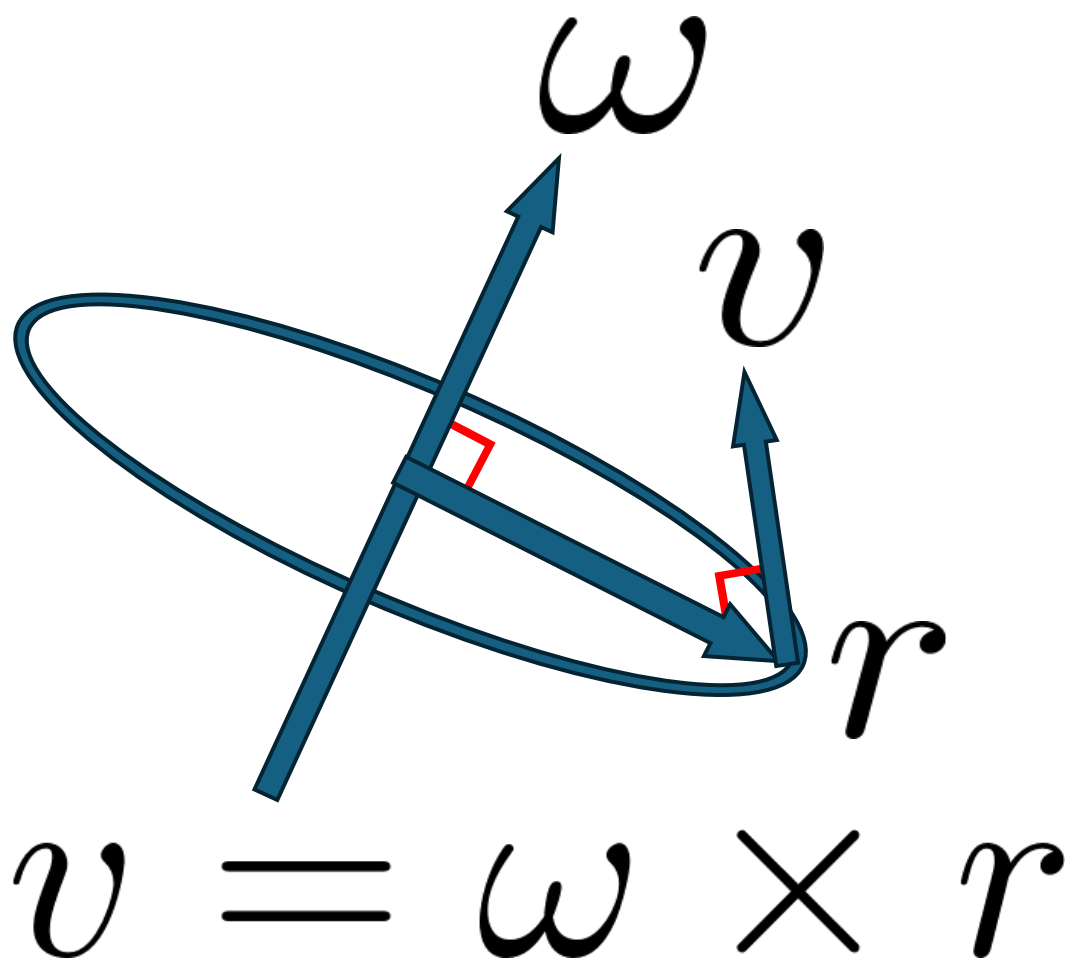
歪対称行列  $\begin{bmatrix} a \\ b \\ c \end{bmatrix}$   $\times \begin{bmatrix} x \\ y \\ z \end{bmatrix} = \begin{bmatrix} bz - cy \\ cx - az \\ ay - bx \end{bmatrix} = \begin{bmatrix} 0 & -c & b \\ c & 0 & -a \\ -b & a & 0 \end{bmatrix} \begin{bmatrix} x \\ y \\ z \end{bmatrix}$

$$\begin{bmatrix} a \\ b \\ c \end{bmatrix}^{\wedge} = \begin{bmatrix} 0 & -c & b \\ c & 0 & -a \\ -b & a & 0 \end{bmatrix}$$
$$\begin{bmatrix} 0 & -c & b \\ c & 0 & -a \\ -b & a & 0 \end{bmatrix}^{\vee} = \begin{bmatrix} a \\ b \\ c \end{bmatrix}$$

$$\mathcal{A} \times \mathcal{B} = [\mathcal{A}_{\times}] \mathcal{B}$$

# ロボットの制御基礎

慣性テンソル



$$\begin{aligned} L &= \sum_{i=1}^n r_i \times m_i v_i \\ &= \sum_{i=1}^n m_i (r_i \times (\omega \times r_i)) \\ &= - \sum_{i=1}^n m_i (r_i \times (r_i \times \omega)) \\ &= - \sum_{i=1}^n m_i [\mathbf{r}_{\times}] [\mathbf{r}_{\times}] \omega \\ &= \underbrace{\sum_{i=1}^n m_i [\mathbf{r}_{\times}]^T [\mathbf{r}_{\times}]}_I \omega \end{aligned}$$

$$\bar{I} = R I R^T$$

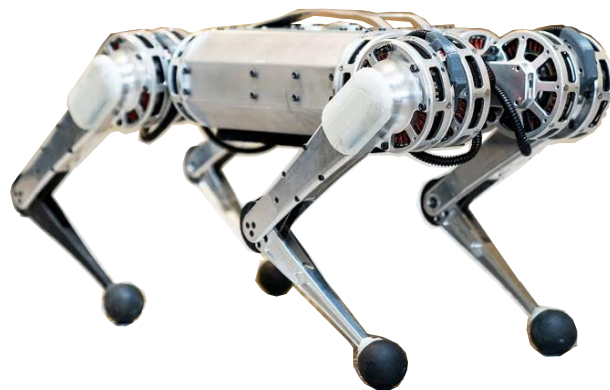




# 四脚ロボットの制御基礎

# 四脚ロボットの制御導入

四脚ロボットの難点

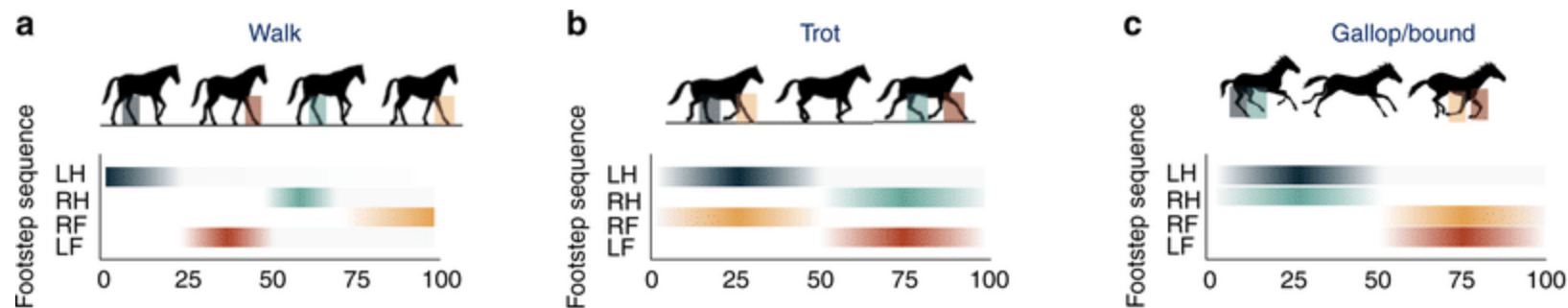


劣駆動(under-actuated)

浮遊基底(floating base)

# 四脚ロボットの制御基礎

Gaitによる動作パターン



Dutta, Sourav, et al. "Programmable coupled oscillators for synchronized locomotion." *Nature communications* 10.1 (2019): 3299.

遊脚軌道は事前に与える(障害物回避などはここで設定)

各脚について逆運動学を解き目標関節角度を取得する

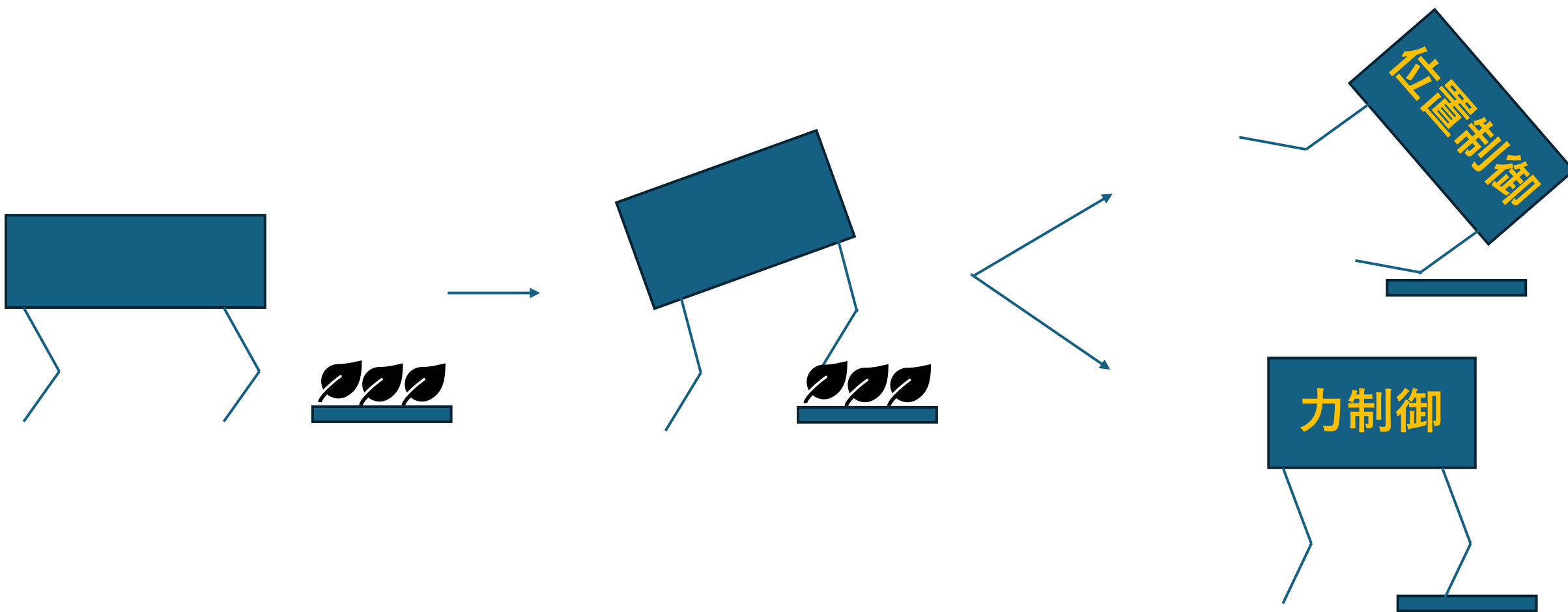
これだけじゃダメ??



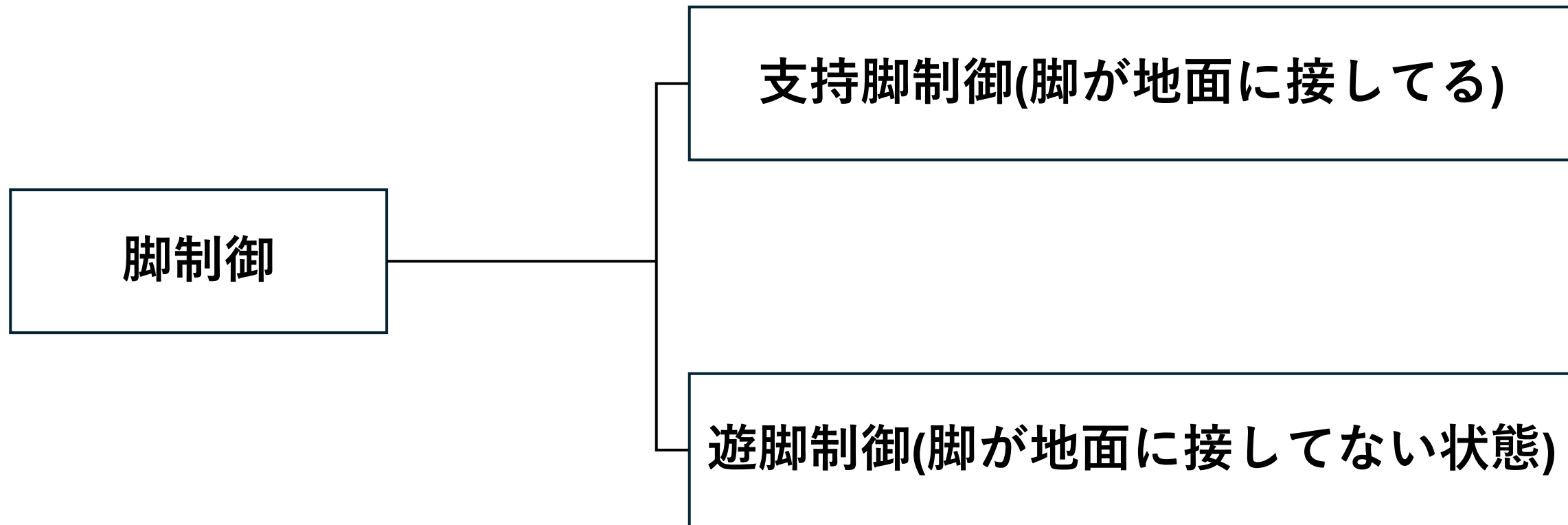
▶ 実際これだけの制御の四脚ロボットも多く存在する

# 四脚ロボットの制御基礎

なぜ力制御が必要か

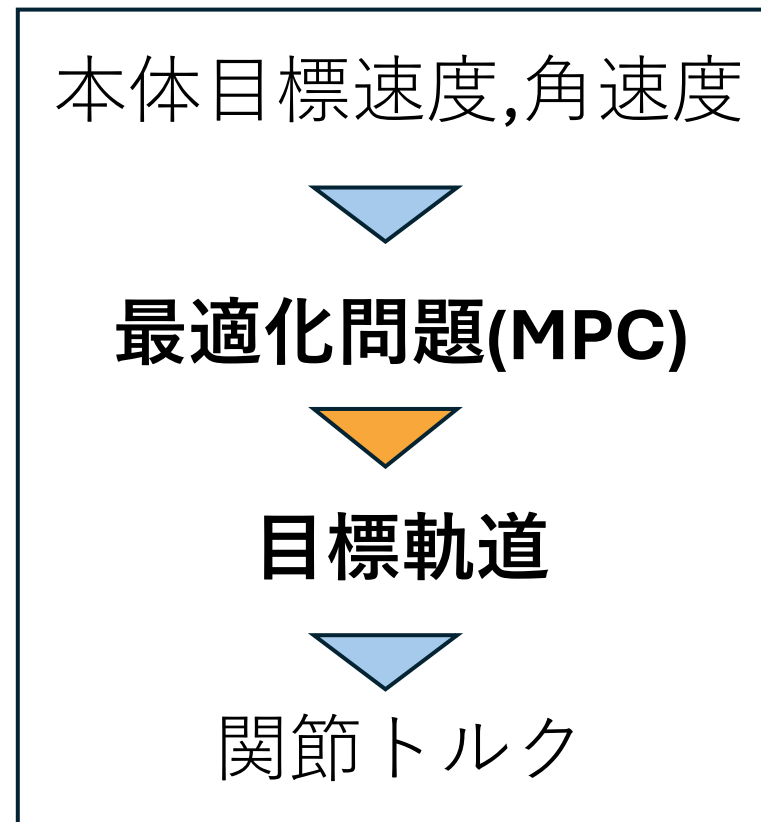
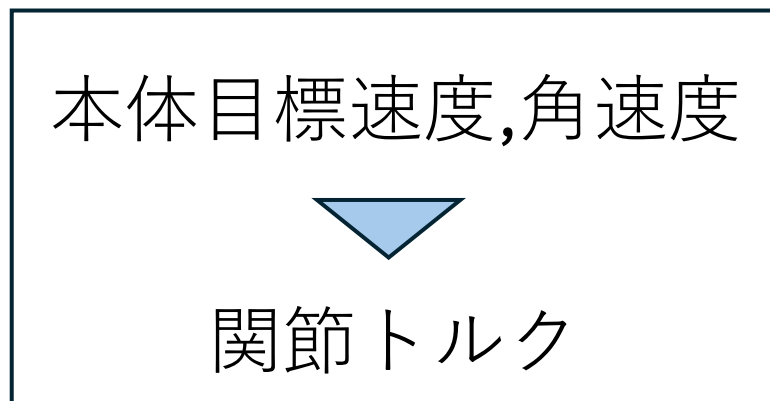


# 四脚ロボットの制御基礎



# 四脚ロボットの制御基礎

ロボットの運動方程式



# 四脚ロボットの制御基礎

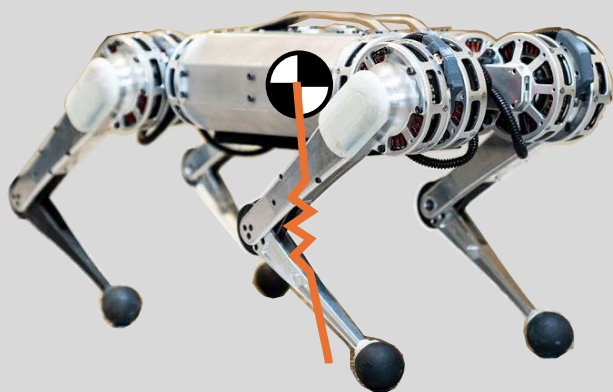
モデル分類

ロボットを完全に数式で表すのは困難

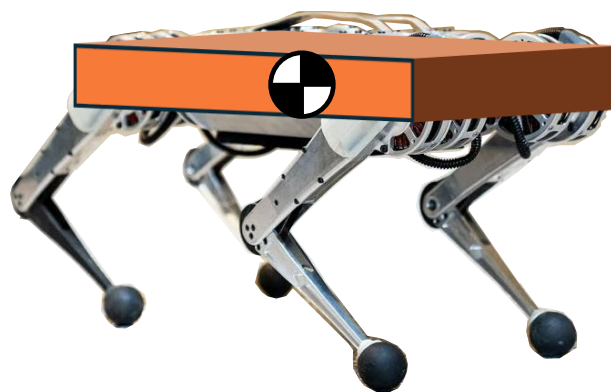


特徴的な性質を数式で表す

SLIP



Single Rigid Body



Centroidal Dynamics

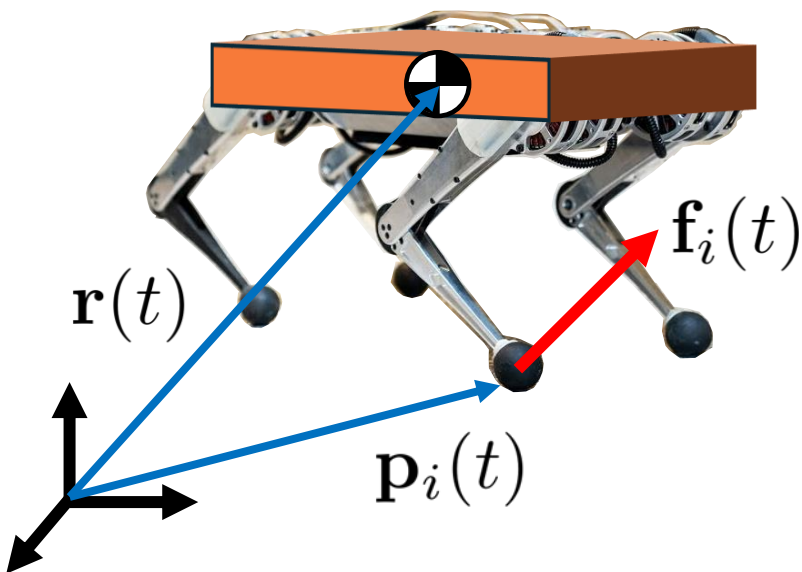


# 四脚ロボットの制御基礎

SRB詳細

ロボットを質量 $m$ ,慣性テンソル $I$ の剛体に近似

## Single Rigid Body(SRB)



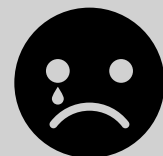
$$m\ddot{\mathbf{r}}(t) = \sum_{i=1}^4 \mathbf{f}_i(t) - m\mathbf{g}$$

$$I\dot{\boldsymbol{\omega}}(t) + \boldsymbol{\omega}(t) \times I\boldsymbol{\omega}(t) = \sum_{i=1}^4 (\mathbf{p}_i(t) - \mathbf{r}(t)) \times \mathbf{f}_i(t)$$

**注意:**脚部の重さが全体の**10%以下**の際に利用する



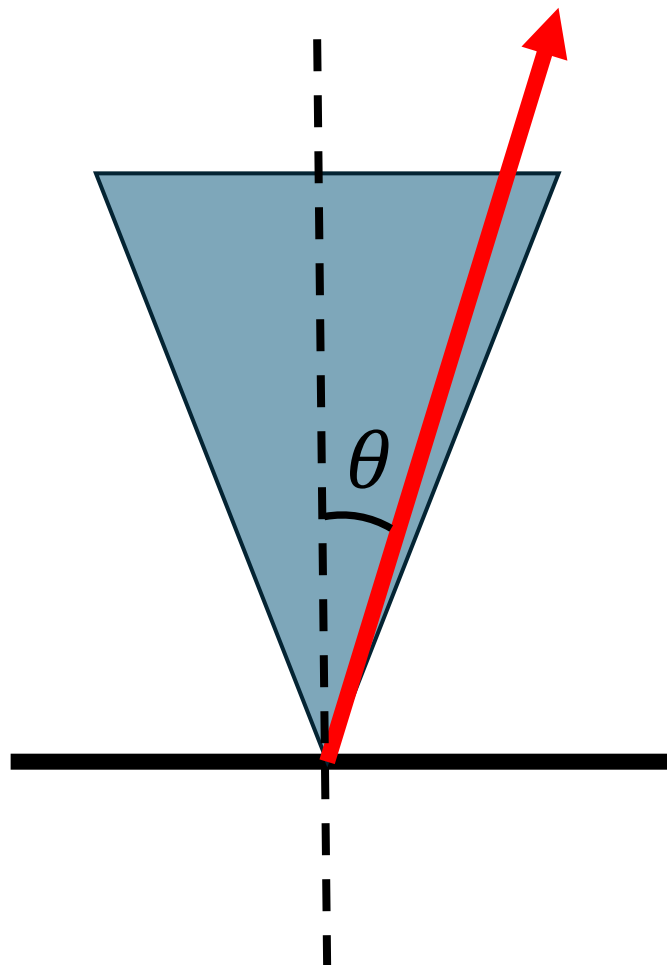
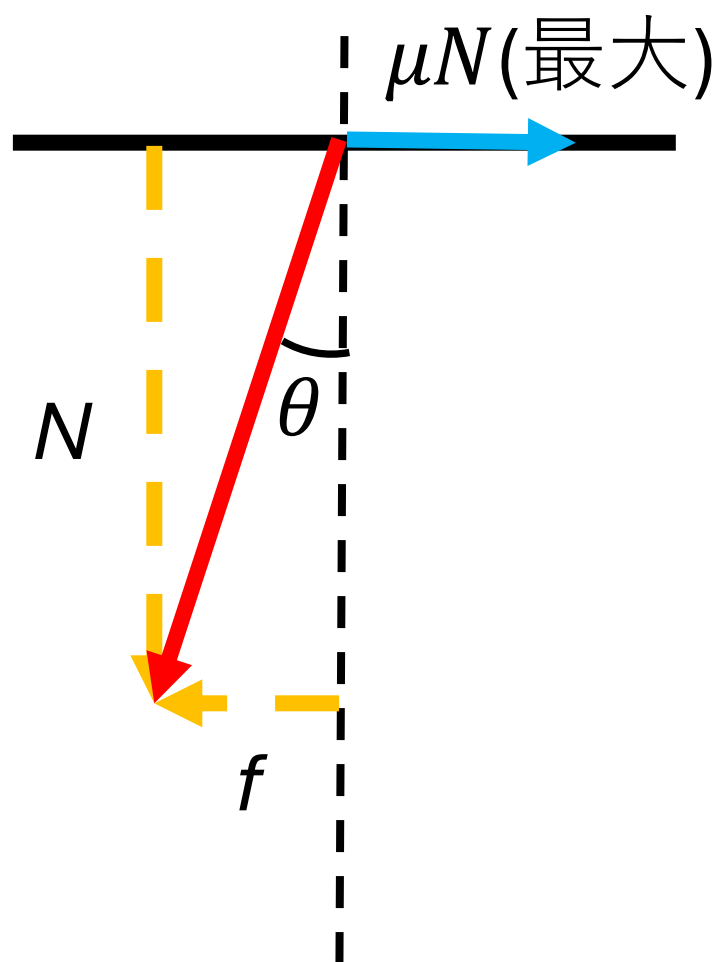
二足歩行ロボットの場合は使えない  
Centroidal Dynamics, SLIP, etc...





# 四脚ロボットの制御基礎

摩擦円錐

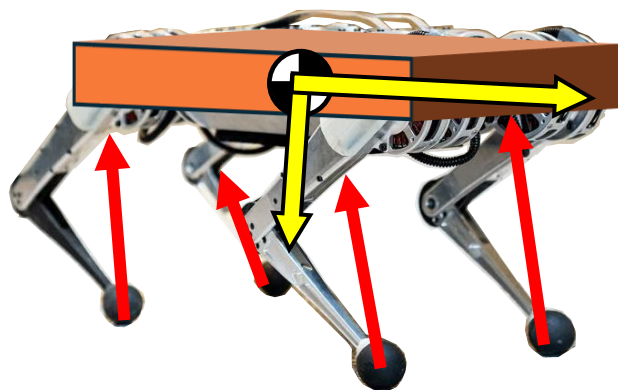


$$f < \mu N \Leftrightarrow \frac{f}{N} < \mu$$
$$\tan \theta = \frac{f}{N} < \mu$$
$$\theta < \tan^{-1} \mu$$

滑りが発生する限界領域を**円錐**で表す

# 四脚ロボットの課題

歩行条件



重力+慣性力=床反力

どうやって**床反力**を求めるか??

方法 1:

床反力を分配する規則をあらかじめ設定

方法2:

**最適化問題**を解いて床反力を分配



# 論文

## 論文の主張：MPCを用いた四脚ロボット制御の定式化

重要な結果：

$$\frac{d}{dt} \begin{bmatrix} \hat{\Theta} \\ \hat{p} \\ \hat{\omega} \\ \hat{p} \end{bmatrix} = \begin{bmatrix} O_3 & R_z^T(\psi) & O_3 & O_3 \\ O_3 & O_3 & O_3 & I_3 \\ O_3 & O_3 & O_3 & O_3 \\ O_3 & O_3 & O_3 & O_3 \end{bmatrix} \begin{bmatrix} \hat{\Theta} \\ \hat{p} \\ \hat{\omega} \\ \hat{p} \end{bmatrix} + \begin{bmatrix} O_3 & \cdots & O_3 \\ O_3 & \cdots & O_3 \\ \hat{I}^{-1}[r_1]_{\times} & \cdots & \hat{I}^{-1}[r_n]_{\times} \\ \frac{1}{m}I_3 & \cdots & \frac{1}{m}I_3 \end{bmatrix} \begin{bmatrix} f_1 \\ \vdots \\ f_n \end{bmatrix} + \begin{bmatrix} 0 \\ 0 \\ 0 \\ g \end{bmatrix}$$

$$\min_{x,u} \sum_{i=0}^{k-1} \|x_{i+1} - x_{i+1,\text{ref}}\|_{Q_i} + \|u_i\|_{R_i}$$

subject to

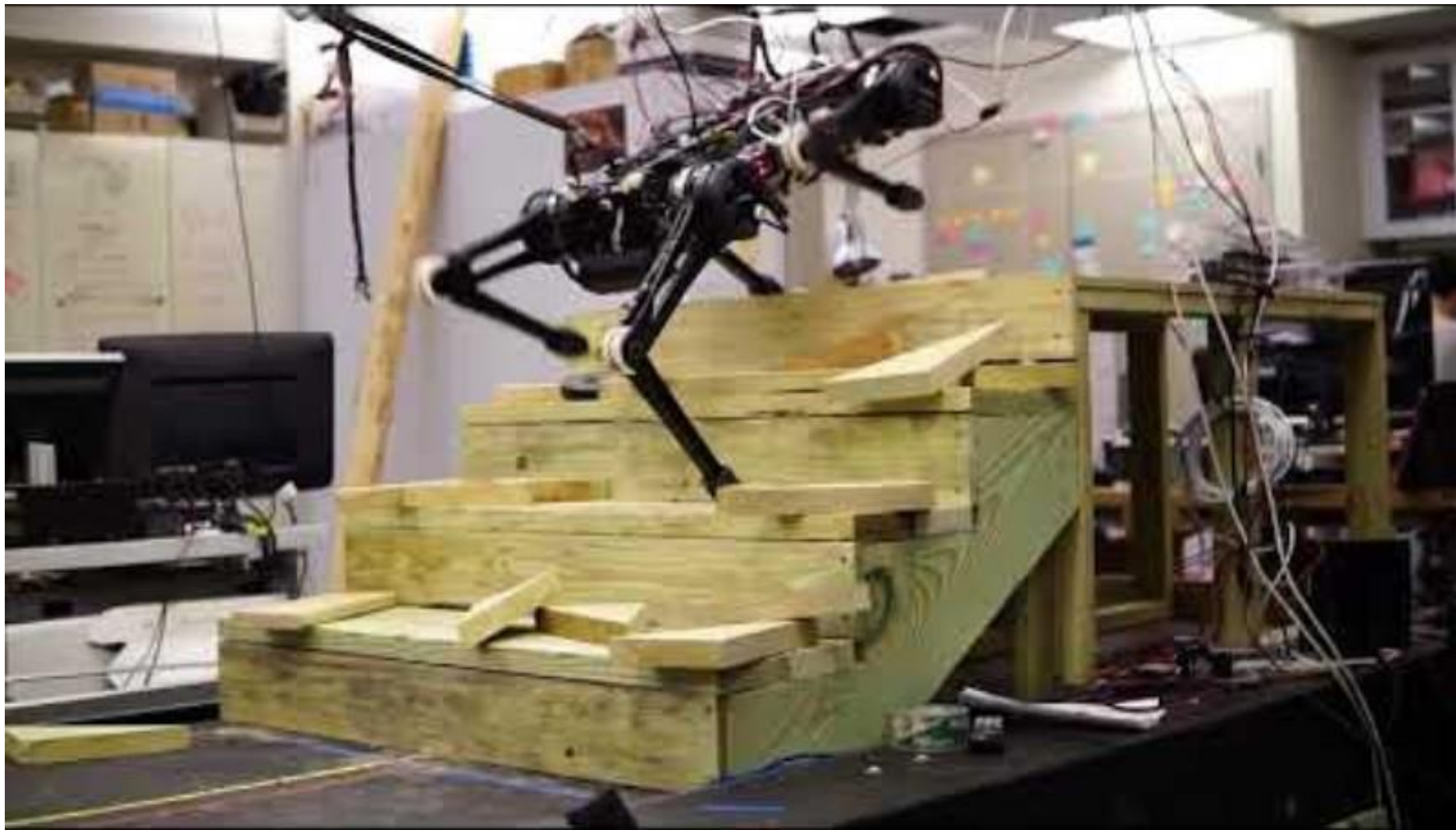
$$x_{i+1} = A_i x_i + B_i u_i, \quad i = 0 \dots k-1$$

$$c_i \leq C_i u_i \leq c'_i, \quad i = 0 \dots k-1$$

$$D_i u_i = 0, \quad i = 0 \dots k-1$$

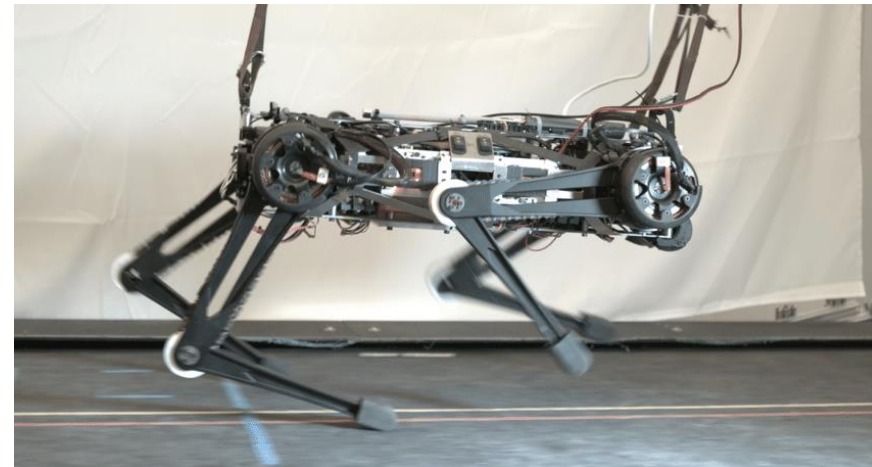
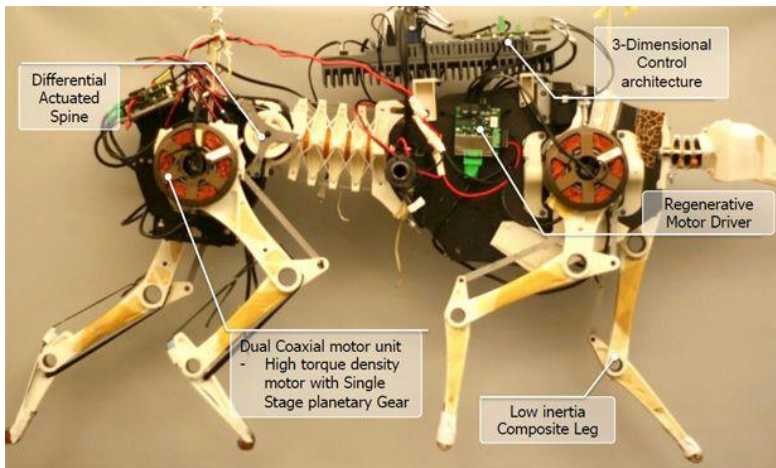
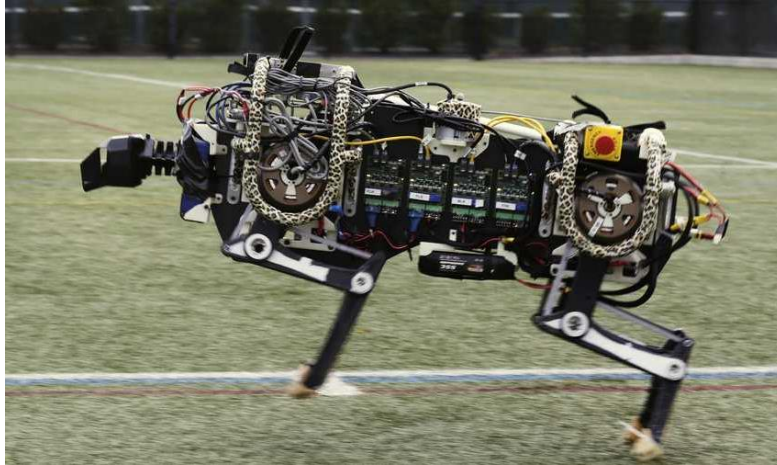
## Dynamic Locomotion in the MIT Cheetah 3 Through Convex Model-Predictive Control

Jared Di Carlo<sup>1</sup>, Patrick M. Wensing<sup>2</sup>, Benjamin Katz<sup>3</sup>, Gerardo Blede<sup>1,3</sup>, and Sangbae Kim<sup>3</sup>

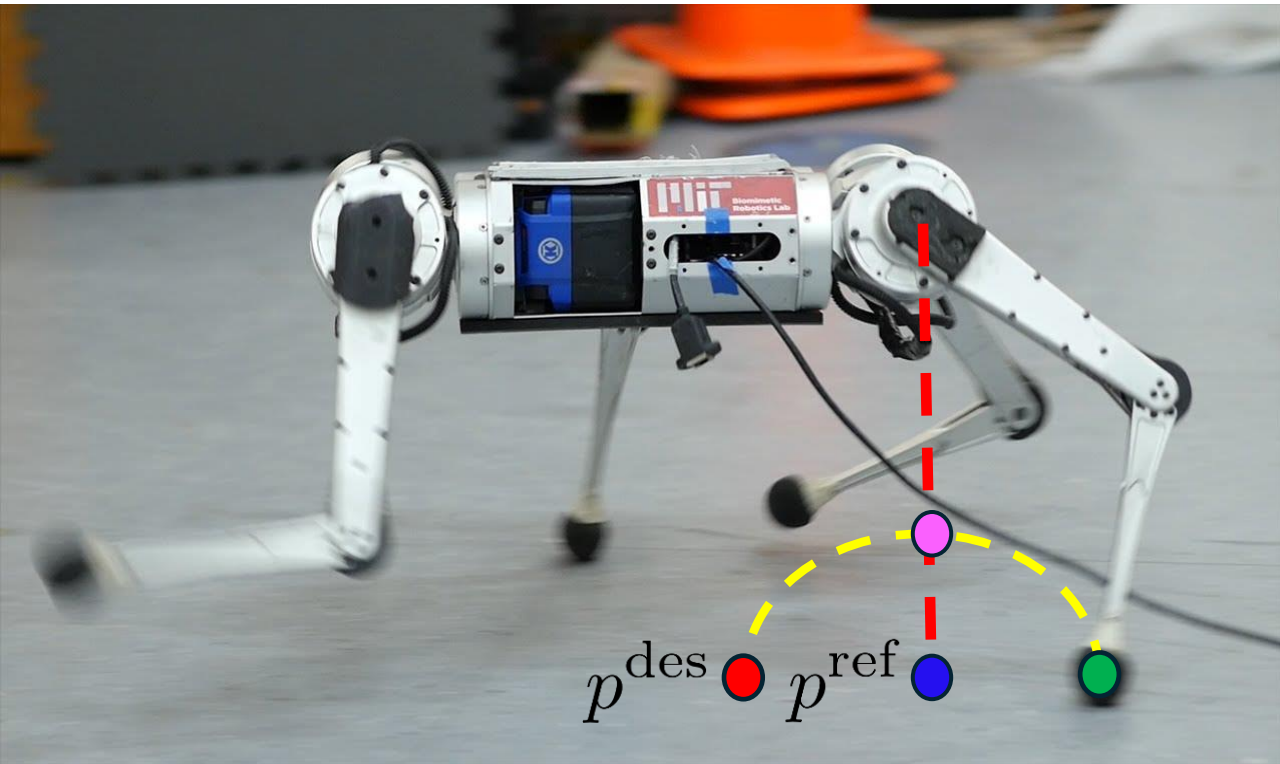




# MIT Cheetah



# 遊脚制御



<https://www.youtube.com/watch?v=-BqNI3AtPVw>

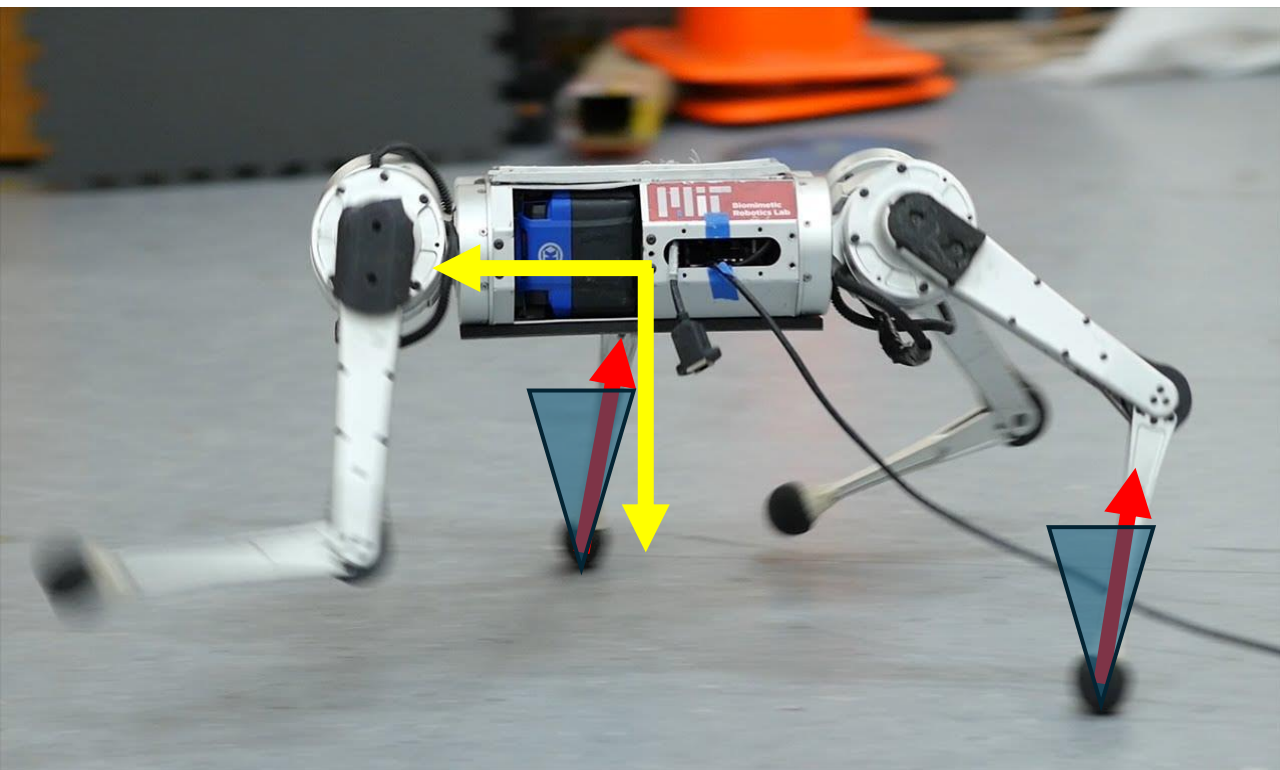
$$p^{\text{des}} = p^{\text{ref}} + \underbrace{v^{\text{CoM}} \frac{\Delta t}{2}}$$

**Raibert Heuristic**

任意のz軸方向高さを決めて**Spline補間**

$$\tau_i = J_i^T [K_p(\mathcal{B}p_{i,\text{ref}} - \mathcal{B}p_i) + K_d(\mathcal{B}v_{i,\text{ref}} - \mathcal{B}v_i)] + \tau_{i,ff}$$
$$\tau_{i,ff} = J_i^T \Lambda_i(\mathcal{B}\ddot{a}_{i,\text{ref}} - J_i\dot{q}_i) + C_i\dot{q}_i + G_i$$

# 支持脚制御



<https://www.youtube.com/watch?v=-BqNl3AtPVw>

$$\tau_i = J_i^T R_i \underset{\text{▲}}{f_i}$$

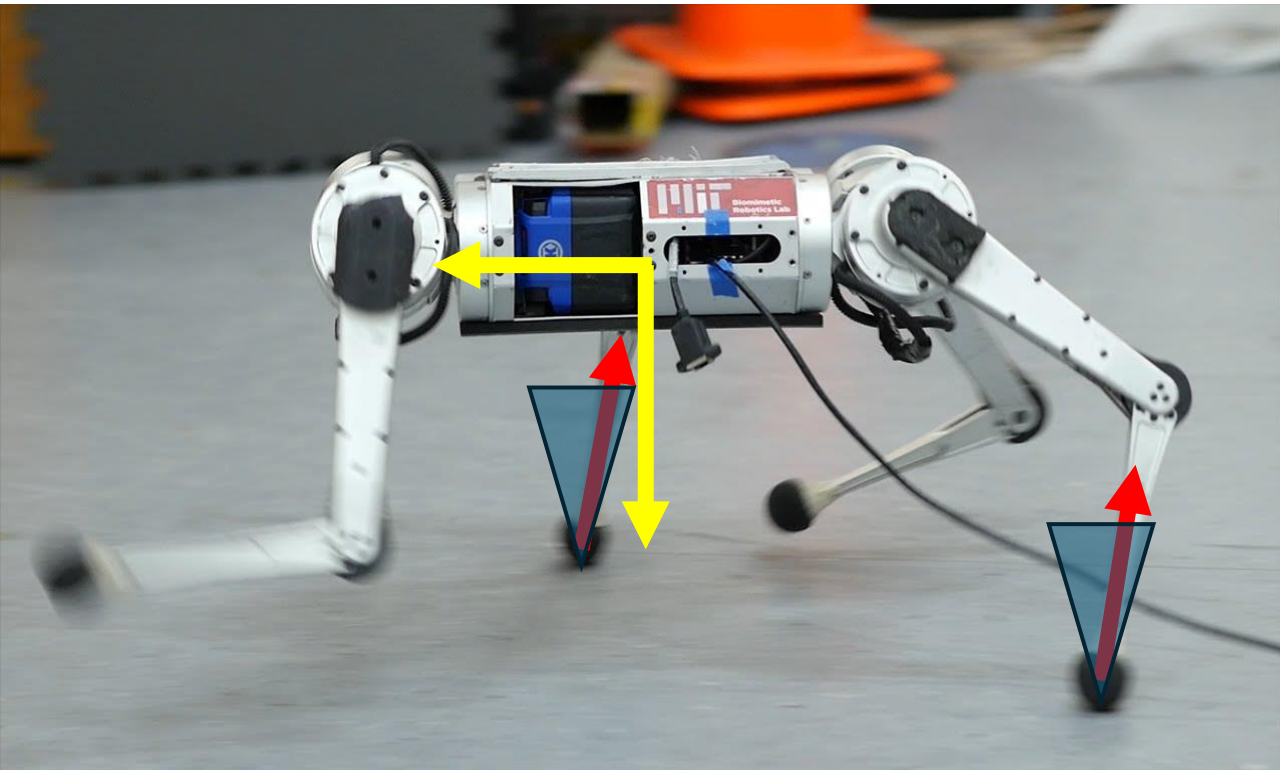
MPCを利用して求める

まず四脚ロボットが満たす  
**状態方程式**と**評価関数**を求める



# 支持脚制御

## STEP1:状態方程式を求める



<https://www.youtube.com/watch?v=-BqNl3AtPVw>

$$\begin{cases} \dot{p} = \frac{1}{m} \sum_{i=1}^4 f_i - g \\ \frac{d}{dt}(\boldsymbol{I}\boldsymbol{\omega}) = \sum_{i=1}^4 \boldsymbol{r}_i \times \boldsymbol{f}_i \\ \boldsymbol{\omega} = \boldsymbol{R}_z(\psi)\boldsymbol{R}_y(\theta)\boldsymbol{R}_x(\phi) \end{cases} \begin{bmatrix} \dot{\phi} \\ \dot{\theta} \\ \dot{\psi} \end{bmatrix}$$

非線形要素をできるだけなくす

# 支持脚制御

## STEP1:状態方程式を求める

$$\left\{ \begin{array}{l} \dot{p} = \frac{1}{m} \sum_{i=1}^4 f_i - g \\ \frac{d}{dt}(\boldsymbol{I}\boldsymbol{\omega}) = \sum_{i=1}^4 \boldsymbol{r}_i \times \boldsymbol{f}_i \\ \boldsymbol{\omega} = \boldsymbol{R}_z(\psi)\boldsymbol{R}_y(\theta)\boldsymbol{R}_x(\phi) \begin{bmatrix} \dot{\phi} \\ \dot{\theta} \\ \dot{\psi} \end{bmatrix} \end{array} \right. \quad \rightarrow \quad \left\{ \begin{array}{l} \dot{p} = \frac{1}{m} \sum_{i=1}^4 f_i - g \\ \dot{\boldsymbol{\omega}} = \boldsymbol{I}^{-1}(\sum_{i=1}^4 \boldsymbol{r}_i \times \boldsymbol{f}_i) \\ \dot{\boldsymbol{\Theta}} = \begin{bmatrix} \dot{\phi} \\ \dot{\theta} \\ \dot{\psi} \end{bmatrix} = \boldsymbol{R}_z(\psi)^T \boldsymbol{\omega} \end{array} \right.$$

$$\begin{aligned} \frac{d}{dt}(\boldsymbol{I}\boldsymbol{\omega}) &= \boldsymbol{I}\dot{\boldsymbol{\omega}} + \boldsymbol{\omega} \times (\boldsymbol{I}\boldsymbol{\omega}) \\ &\approx \boldsymbol{I}\dot{\boldsymbol{\omega}} \end{aligned}$$

$$\begin{aligned} \boldsymbol{\omega} &= \boldsymbol{R}_z(\psi)\boldsymbol{R}_y(\theta)\boldsymbol{R}_x(\phi) \begin{bmatrix} \dot{\phi} \\ \dot{\theta} \\ \dot{\psi} \end{bmatrix} \\ &\approx \boldsymbol{R}_z(\psi) \begin{bmatrix} \dot{\phi} \\ \dot{\theta} \\ \dot{\psi} \end{bmatrix} \end{aligned}$$

# 支持脚制御

## STEP1:状態方程式を求める

$$\begin{cases} \dot{p} = \frac{1}{m} \sum_{i=1}^4 f_i - g \\ \dot{\omega} = \textcolor{red}{I}^{-1} (\sum_{i=1}^4 r_i \times f_i) \\ \dot{\Theta} = \begin{bmatrix} \dot{\phi} \\ \dot{\theta} \\ \dot{\psi} \end{bmatrix} = \textcolor{red}{R}_z(\psi)^T \omega \end{cases}$$

$$\hat{I} = R_z(\psi) {}_{\mathcal{B}} I R_z(\psi)^T$$

$$\frac{d}{dt} \begin{bmatrix} \hat{\Theta} \\ \hat{p} \\ \hat{\omega} \\ \hat{\dot{p}} \end{bmatrix} = \begin{bmatrix} O_3 & R_z^T(\psi) & O_3 & O_3 \\ O_3 & O_3 & O_3 & I_3 \\ O_3 & O_3 & O_3 & O_3 \\ O_3 & O_3 & O_3 & O_3 \end{bmatrix} \begin{bmatrix} \hat{\Theta} \\ \hat{p} \\ \hat{\omega} \\ \hat{\dot{p}} \end{bmatrix} + \begin{bmatrix} O_3 & \cdots & O_3 \\ O_3 & \cdots & O_3 \\ \hat{I}^{-1}[r_1]_{\times} & \cdots & \hat{I}^{-1}[r_n]_{\times} \\ \frac{1}{m} I_3 & \cdots & \frac{1}{m} I_3 \end{bmatrix} \begin{bmatrix} f_1 \\ \vdots \\ f_n \end{bmatrix} + \begin{bmatrix} 0 \\ 0 \\ 0 \\ g \end{bmatrix}$$

$$\dot{\mathbf{x}}(t) = \mathbf{A}_{\mathbf{c}}(\psi) \mathbf{x}(t) + \mathbf{B}_{\mathbf{c}}(\mathbf{r}_1, \dots, \mathbf{r}_n, \psi) \mathbf{u}(t)$$

# 支持脚制御

## STEP2:評価関数を求める

$$\min_{x,u} \sum_{i=0}^{k-1} \|x_{i+1} - x_{i+1,\text{ref}}\|_{Q_i} + \|u_i\|_{R_i}$$

subject to

$$x_{i+1} = A_i x_i + B_i u_i, \quad i = 0 \dots k-1$$

摩擦円錐の拘束

$$c_i \leq C_i u_i \leq c'_i, \quad i = 0 \dots k-1$$

$$D_i u_i = 0, \quad i = 0 \dots k-1$$

遊脚のuを0

$$f_{\min} \leq f_z \leq f_{\max}$$

$$-\mu f_z \leq f_x \leq \mu f_z$$

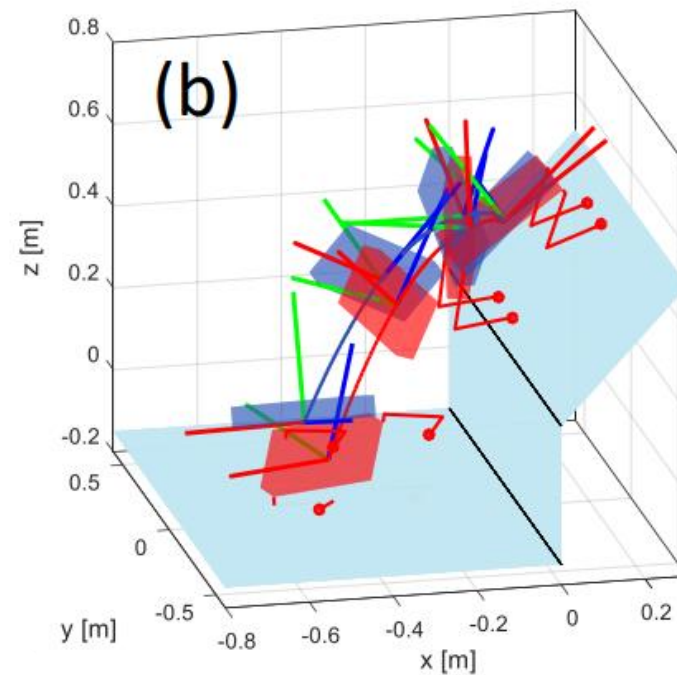
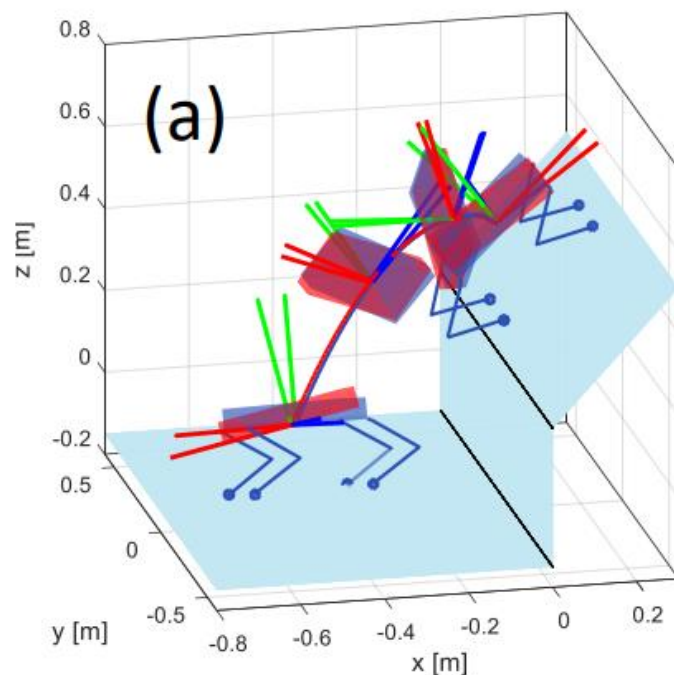
$$-\mu f_z \leq f_y \leq \mu f_z$$

# Real-time Model Predictive Control for Versatile Dynamic Motions in Quadrupedal Robots

Yanran Ding, Abhishek Pandala, and Hae-Won Park

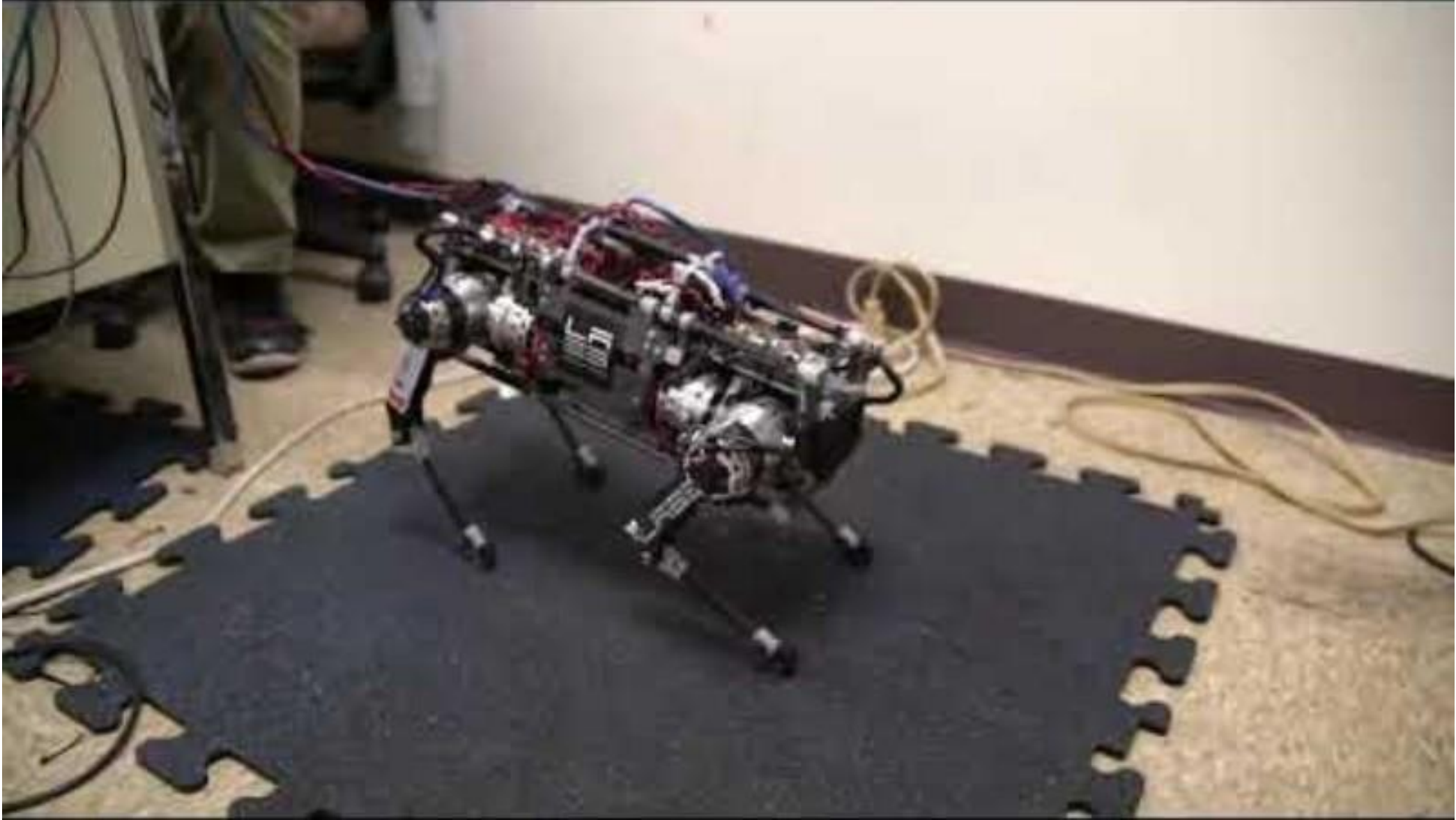
**論文の主張：** リー代数を用いてアクロバットな動きを可能にする

**重要な結果：**  $\omega_{k+1} = \omega_k + {}^B I^{-1} (R_k^T \tau_k - \hat{\omega}_k^B I_{\omega_k}) \Delta t$   
 $R_{k+1} = R_k \exp(\hat{\omega}_k \Delta t)$



# Real-time Model Predictive Control for Versatile Dynamic Motions in Quadrupedal Robots

Yanran Ding, Abhishek Pandala, and Hae-Won Park



# Real-time Model Predictive Control for Versatile Dynamic Motions in Quadrupedal Robots

Yanran Ding, Abhishek Pandala, and Hae-Won Park

MIT Cheetah

## 問題点

オイラー角 : ジンバルロック  
クォータニオン : Unwind

問題が起きない回転法を探す




# リー代数を用いた回転表現

通常のリート行列は**9つの成分**で表される

$$SO(3) = \{R \in \mathbb{R}^{3 \times 3} \mid R^T R = I, \det(R) = 1\} \quad R = \begin{bmatrix} r_1 & r_2 & r_3 \\ r_4 & r_5 & r_6 \\ r_7 & r_8 & r_9 \end{bmatrix}$$

リー代数を用いたリートは**3つの成分**で表される

$$\mathfrak{so}(3) = \{[\omega_{\times}] \mid \omega \in \mathbb{R}^3\} \quad [\omega_{\times}] = \begin{bmatrix} 0 & -\omega_3 & \omega_2 \\ \omega_3 & 0 & -\omega_1 \\ -\omega_2 & \omega_1 & 0 \end{bmatrix}$$

 **注意：角速度ではない**

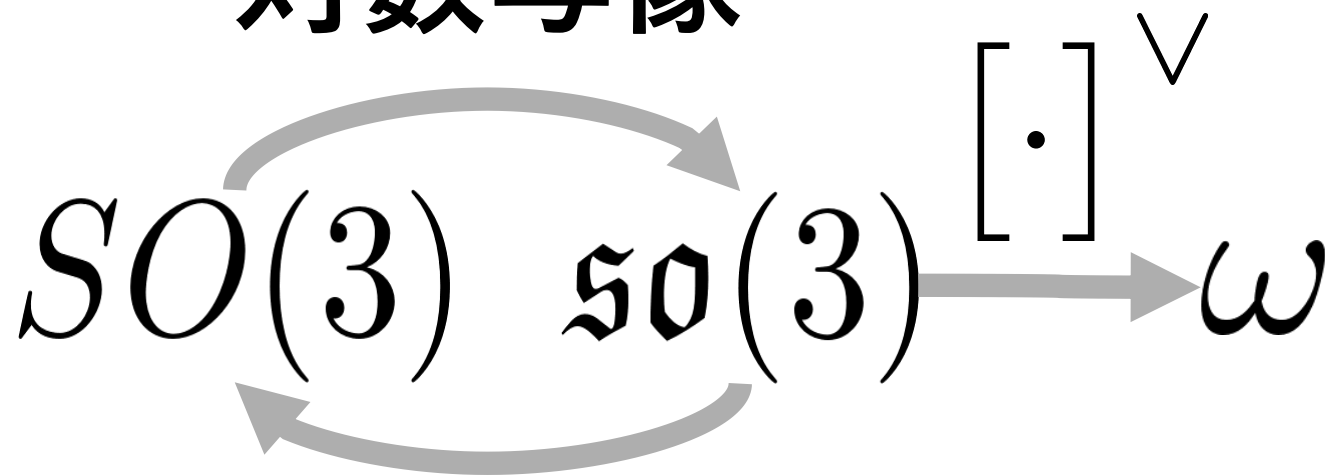


# リー代数を用いた回転表現

$$SO(3) = \{ R \in \mathbb{R}^{3 \times 3} \mid R^T R = I, \det(R) = 1 \}$$

$$\mathfrak{so}(3) = \{ [\omega_{\times}] \mid \omega \in \mathbb{R}^3 \}$$

対数写像



指数写像

# 回転誤差を含む評価関数

roll, pitch回転を伴う運動でも近似誤差の影響を無くす

→ アクロバットな動きの制御

$$\min \sum_{k=1}^{N-1} \ell(x_k, u_k) + \ell_T(x_N)$$

$$\begin{aligned} \ell(x_k, u_k) = & e_{u_k}^T R_u e_{u_k} + e_{p_k}^T Q_p e_{p_k} + e_{\dot{p}_k}^T Q_{\dot{p}} e_{\dot{p}_k} \\ & + e_{\omega_k}^T Q_{\omega} e_{\omega_k} + e_{R_k}^T Q_R e_{R_k} \end{aligned}$$

$$e_{R_k} = \log(R_{d,k}^T \cdot R_k)^\vee$$

$$e_{\omega_k} = \omega_k - R_k^T R_{d,k} \omega_{d,k}$$

# Real-time Model Predictive Control for Versatile Dynamic Motions in Quadrupedal Robots

Yanran Ding, Abhishek Pandala, and Hae-Won Park

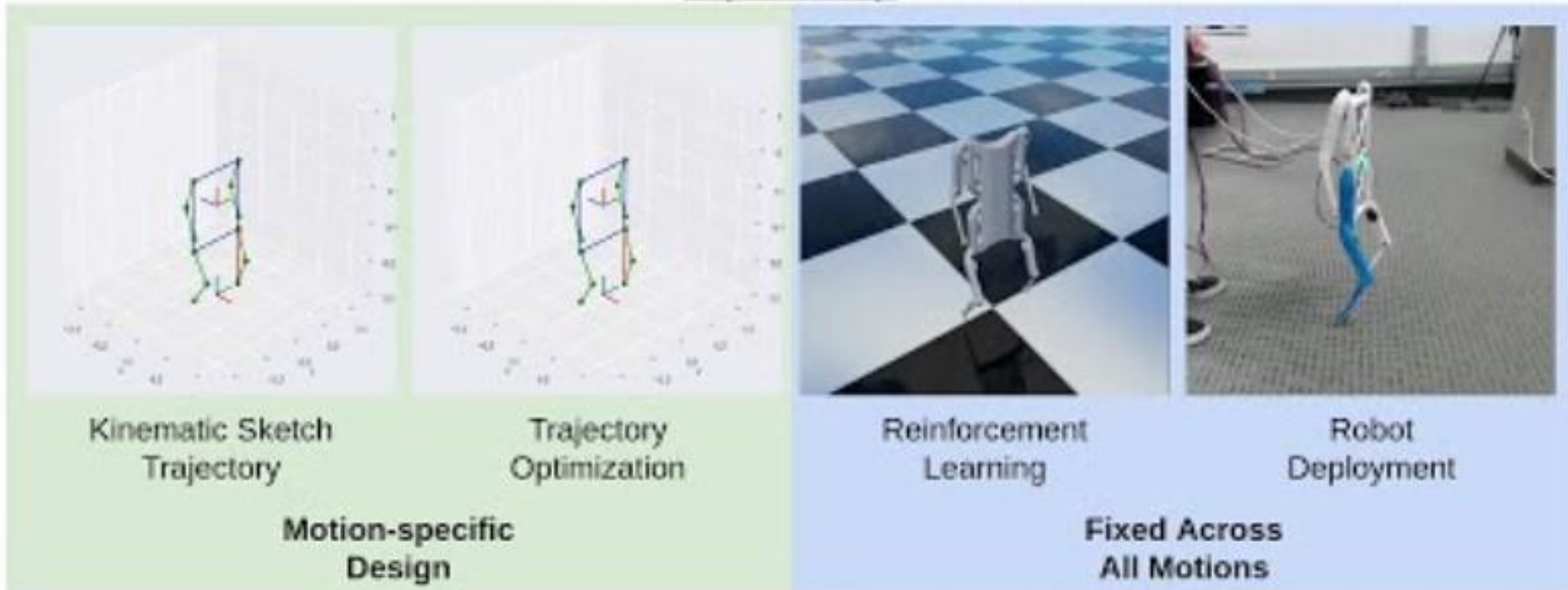
$$e_{R_k} = \log(\underbrace{R_{d,k}^T \cdot R_k}_{SO(3)})^\vee$$
$$\underbrace{\phantom{SO(3)}}_{so(3)}$$
$$\underbrace{\phantom{so(3)}}_{\mathbb{R}^3}$$

$$\begin{aligned}\omega_{k+1} &= \omega_k + {}^B I^{-1} (R_k^T \tau_k - \hat{\omega}_k^B I_{\omega_k}) \Delta t \\ R_{k+1} &= R_k \exp(\hat{\omega}_k \Delta t)\end{aligned}$$

# OPT-Mimic: Imitation of Optimized Trajectories for Dynamic Quadruped Behaviors

Yuni Fuchioka<sup>1</sup>, Zhaoming Xie<sup>1,2</sup>, and Michiel van de Panne<sup>1</sup>

## Biped-Step




# OPT-Mimic: Imitation of Optimized Trajectories for Dynamic Quadruped Behaviors

Yuni Fuchioka<sup>1</sup>, Zhaoming Xie<sup>1,2</sup>, and Michiel van de Panne<sup>1</sup>

$$p^+ = p + \dot{p}\Delta t$$

$$\dot{p}^+ = \dot{p} + \left( \frac{1}{m} \sum_i f_i + g \right) \Delta t$$


$$\begin{cases} R^+ = Re^{([\omega \times] \Delta t)} \\ \omega^+ = \omega + {}^B I^{-1} \left( R^T \left( \sum_i (p_i - p) \times f_i \right) - [\omega \times]^B I_\omega \right) \Delta t \end{cases}$$

**Real-time Model Predictive Control for Versatile Dynamic Motions in  
Quadrupedal Robots**

Yanran Ding, Abhishek Pandala, and Hae-Won Park

# OPT-Mimic: Imitation of Optimized Trajectories for Dynamic Quadruped Behaviors

Yuni Fuchioka<sup>1</sup>, Zhaoming Xie<sup>1,2</sup>, and Michiel van de Panne<sup>1</sup>

$$(p_i)_z \geq 0$$

地面にめり込まない

$$(f_i)_z (p_i)_z = 0$$

支持脚か判定

$$(f_i)_z ((p_i)_x^+ - (p_i)_x) = 0$$

$$(f_i)_z ((p_i)_y^+ - (p_i)_y) = 0$$

接触トルクが常に0

$$|(f_i)_x| \leq \mu (f_i)_z$$

$$|(f_i)_y| \leq \mu (f_i)_z$$

摩擦円錐

$$0 \leq (f_i)_z \leq ((f_i)_z)_{\max}$$

$$\left\| \begin{bmatrix} (B_i p_i)_x \\ (B_i p_i)_z \end{bmatrix} \right\|_1 \leq l_{\text{leg}}$$

脚先が関節可動域内

$$(B_i p_i)_y = 0$$

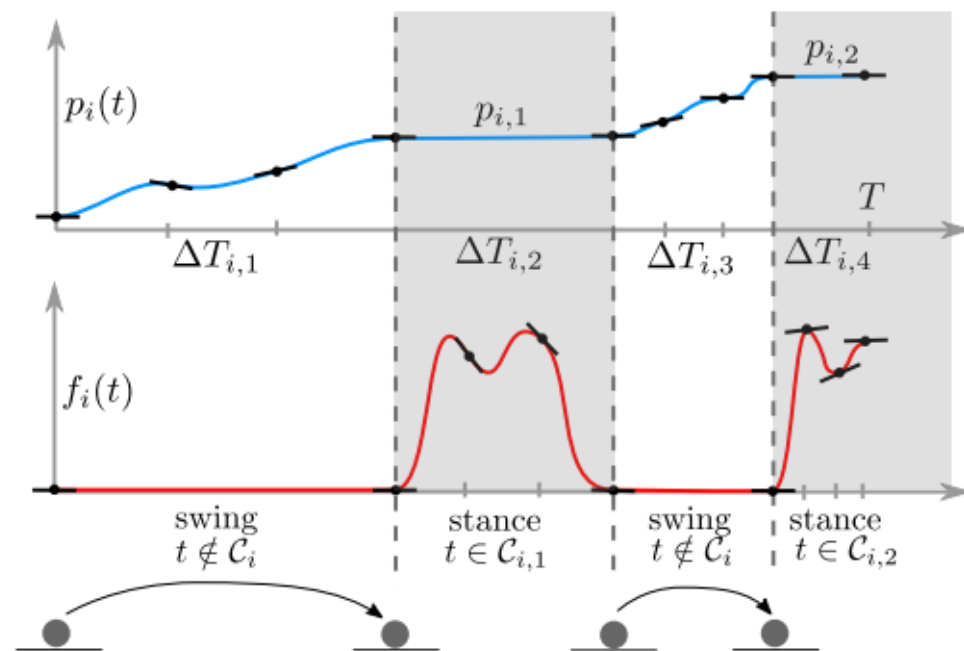
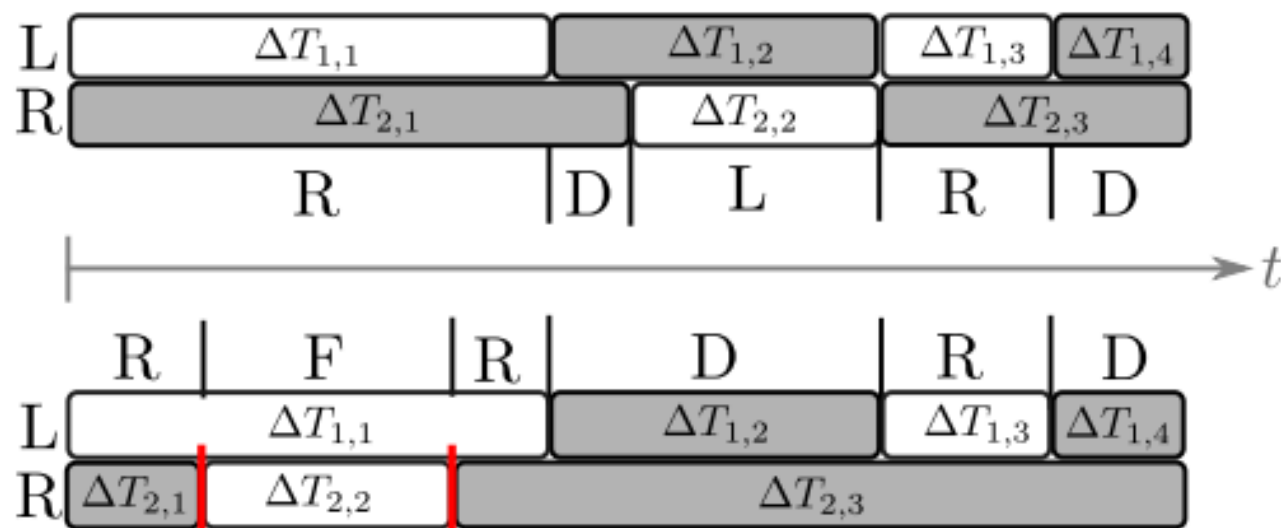
脚が下方に伸びる

# Gait and Trajectory Optimization for Legged Systems through Phase-based End-Effector Parameterization

Alexander W. Winkler<sup>1</sup>, C. Dario Bellicoso<sup>2</sup>, Marco Hutter<sup>2</sup>, Jonas Buchli<sup>1</sup>

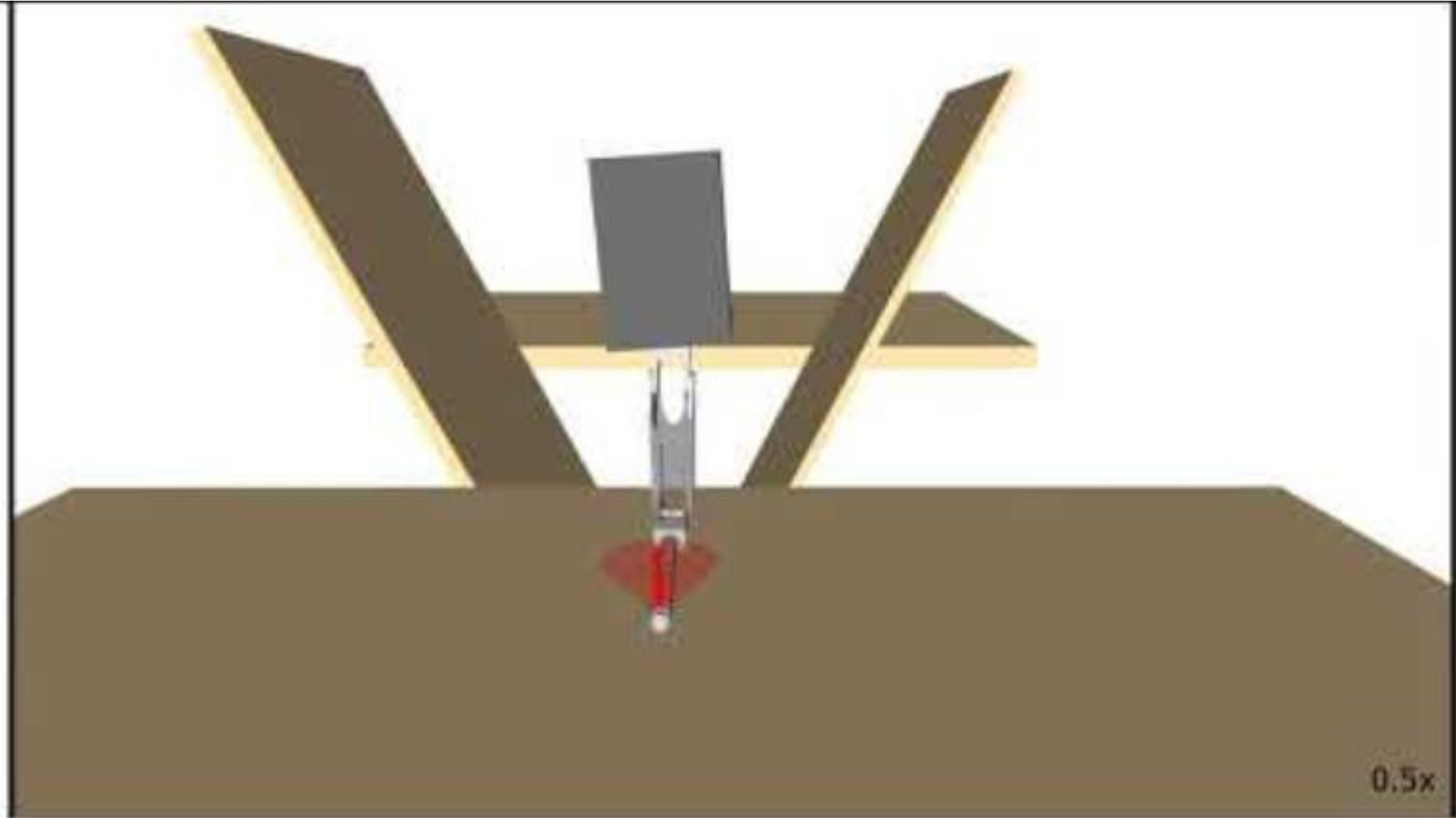
論文の主張：より一般的なGait生成を可能にする

重要な結果：



# Gait and Trajectory Optimization for Legged Systems through Phase-based End-Effector Parameterization

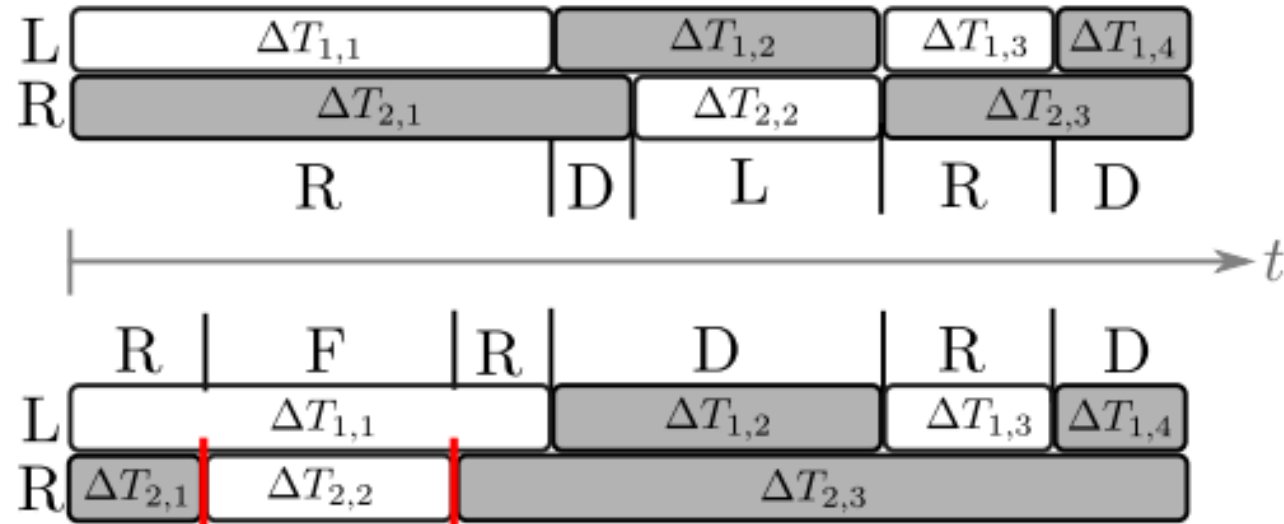
Alexander W. Winkler<sup>1</sup>, C. Dario Bellicoso<sup>2</sup>, Marco Hutter<sup>2</sup>, Jonas Buchli<sup>1</sup>





# Gait and Trajectory Optimization for Legged Systems through Phase-based End-Effector Parameterization

Alexander W. Winkler<sup>1</sup>, C. Dario Bellicoso<sup>2</sup>, Marco Hutter<sup>2</sup>, Jonas Buchli<sup>1</sup>



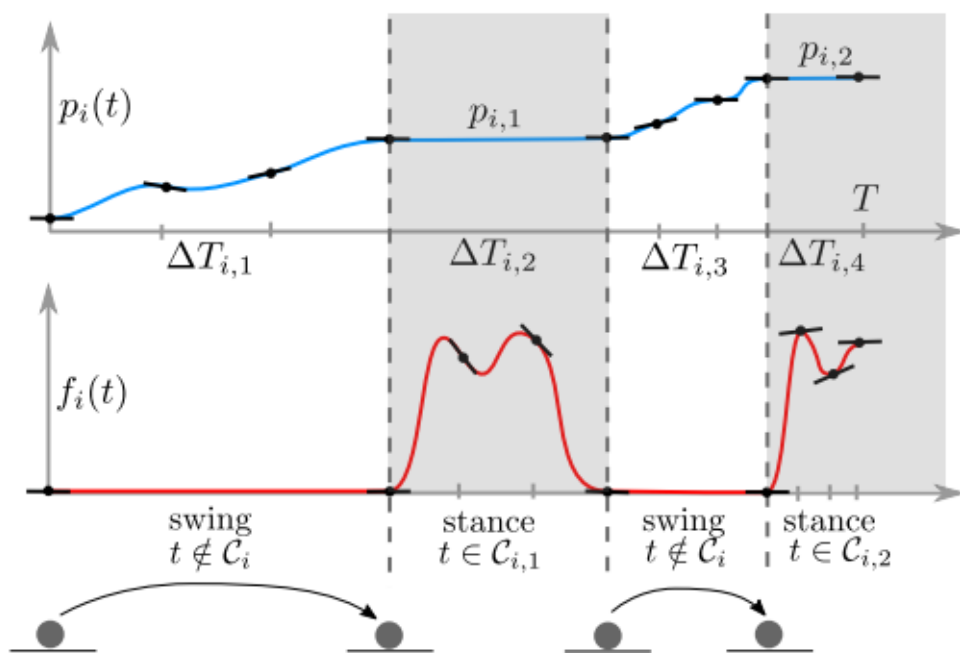
反力最適化(連続最適化)+支持脚位置最適化(整数最適化)



反力最適化(連続最適化)+支持脚時間最適化(整数最適化)

# Gait and Trajectory Optimization for Legged Systems through Phase-based End-Effector Parameterization

Alexander W. Winkler<sup>1</sup>, C. Dario Bellicoso<sup>2</sup>, Marco Hutter<sup>2</sup>, Jonas Buchli<sup>1</sup>



## 計算効率化

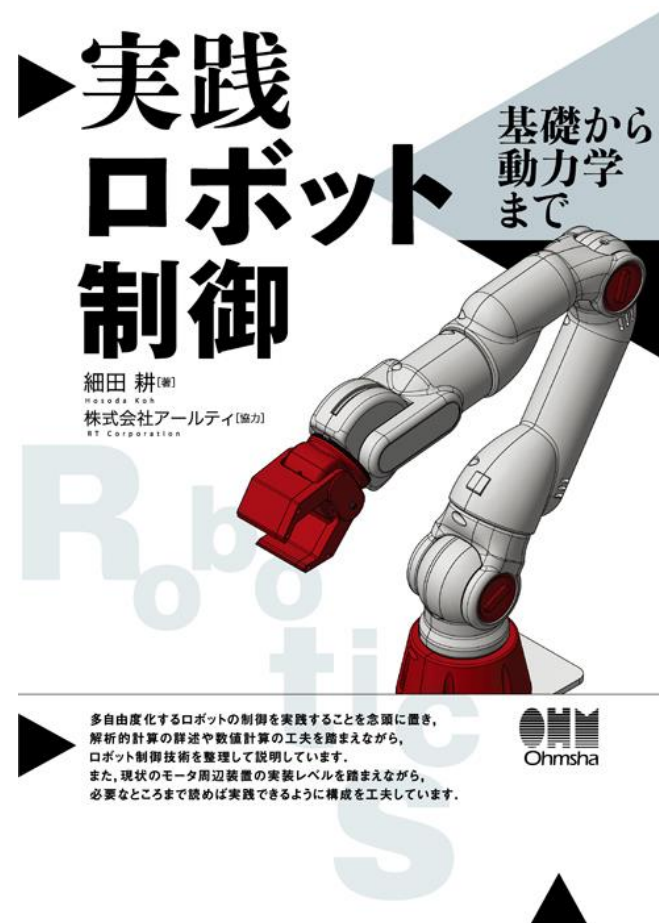
遊脚時の反力 $f$ は0

支持脚時の脚先位置 $p$ は地面

# 參考資料

- Bledt, Gerardo, et al. "Mit cheetah 3: Design and control of a robust, dynamic quadruped robot." *2018 IEEE/RSJ International Conference on Intelligent Robots and Systems (IROS)*. IEEE, 2018.
- Di Carlo, Jared, et al. "Dynamic locomotion in the mit cheetah 3 through convex model-predictive control." *2018 IEEE/RSJ international conference on intelligent robots and systems (IROS)*. IEEE, 2018.
- Winkler, Alexander W., et al. "Gait and trajectory optimization for legged systems through phase-based end-effector parameterization." *IEEE Robotics and Automation Letters* 3.3 (2018): 1560-1567.
- Ding, Yanran, Abhishek Pandala, and Hae-Won Park. "Real-time model predictive control for versatile dynamic motions in quadrupedal robots." *2019 International Conference on Robotics and Automation (ICRA)*. IEEE, 2019.

# 参考資料



# 参考資料

